

PuX⁺ (X = H, O, N, C)的结构与势能函数*

李 权 王红艳¹ 蒋 刚¹ 朱正和¹

(四川师范大学化学系, 成都 610066; ¹ 四川大学原子与分子物理研究所, 成都 610065)

摘要 用密度泛函 B3LYP 方法对 PuX⁺ (X = H, O, N, C) 分子离子体系进行了理论研究。结果表明, 这些分子离子的基态电子状态分别是 X^{7Σ-} (PuH⁺)、X^{6Σ-} (PuO⁺)、X^{5Σ+} (PuN⁺) 和 X^{8Σ-} (PuC⁺) ; 势能函数为 Murrell-Sorbie 势函数。并得到了相应的几何性质、力学性质和光谱数据。

关键词: 分子离子, 结构, 势能函数, 稳定性, 密度泛函理论(DFT)

分子势能函数是分子电子能量的完全描述, 同时也是核运动的势能函数, 是研究原子与分子碰撞和分子反应动力学的基础。金属钚有活泼的化学性质, 极易与 O₂、H₂O(g)、H₂ 和 CO 等物质发生反应。PuH、PuO、PuN、PuC 是钚的重要化合物, 其基态结构与势能函数和热力学函数已有报导^[1~3], 而关于正一价分子离子的结构与势能函数未见报导。这些化合物正一价分子离子的结构与势能函数属钚材料的理论研究, 对钚表面的抗腐蚀能力应用研究有重要意义。

锕系元素化合物的核外电子数多, 交换作用比较复杂, 相对论效应不能忽视。用 *ab initio* 研究锕系元素化合物时, 在相对论有效原子实势(RECP, relativistic effective core potential)近似下, 用密度泛函理论(DFT)可方便地处理电子相关问题, 给出的结果合理可靠, 与实验结果吻合甚好^[4~7]。

本文采用 Gaussian 98 程序, 在 Pu 原子 RECP 近似下, 用 B3LYP(Becke 三参数交换函数与 Lee-Yang-Parr 相关函数组成的杂化 DFT 方法)方法对 PuH⁺、PuO⁺、PuN⁺ 和 PuC⁺ 分子离子体系进行研究。

1 PuX⁺ (X = H, O, N, C) 分子离子的电子状态与离解极限

从头计算给出 PuH⁺ 分子离子的离解通道为



Pu⁺ 的基电子状态^[4] 为 ^{8F_g}, H 的基电子状态^[8] 为 ^{2S_g}。根据原子分子反应静力学原理^[9], Pu⁺、H 属于 SU(n) 群, PuH⁺ 属于 C_{∞v} 群, SU(n) 群的对称性高于 C_{∞v} 群。当对称性降低形成分子离子时, SU(n) 群的不可约表示可分解为 C_{∞v} 群的不可约表示的直和, 通过直积和约化可得 C_{∞v} 群的不可约表示, 即所形成分子离子的可能电子状态。Pu⁺ (^{8F_g}) 和 H (^{2S_g}) 分别分解为 C_{∞v} 群表示的直和:



两者直积并约化, 得

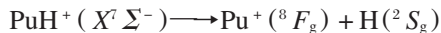
$$\begin{aligned} {}^8F_g \otimes {}^2S_g &= ({}^8\Sigma^- \oplus {}^8\Pi \oplus {}^8\Delta \oplus {}^8\Phi) \otimes {}^2\Sigma^+ \\ &= {}^{7,9}\Sigma^- \oplus {}^{7,9}\Pi \oplus {}^{7,9}\Delta \oplus {}^{7,9}\Phi \end{aligned}$$

所以, PuH⁺ 分子离子的可能电子状态有 ^{7Σ-}、^{9Σ-}、^{7Π}、^{9Π}……

采用 Pu 原子的 RECP 近似和 H 原子的 6-311G* 全电子基函数, 用 B3LYP 方法计算 PuH⁺ 分子离子 7 重态和 9 重态, 优化结果见表 1。

由表 1 知, PuH⁺ 分子离子的基态为 ^{7Σ-}, ^{9Σ-} 为激发态。

根据原子分子反应静力学中的微观过程可逆性原理, 可得 PuH⁺ (^{7Σ-}) 的离解极限为



同理, PuO⁺ 分子离子的可能电子状态有 ^{6Σ-}、

表 1 PuH⁺分子离子的电子组态、电子状态和平衡几何与能量的优化结果Table 1 Electronic configuration, electronic state and equilibrium geometry, energy for PuH⁺

Electronic configuration	Electronic state	R _e /nm	Equilibrium energy (Hartree)
α electron $\sigma \pi \pi \sigma \pi \sigma \delta \delta \phi \phi \sigma$ β electron $\sigma \pi \pi \sigma \sigma$	$^7\Sigma^-$	0.208	-72.13649
α electron $\sigma \sigma \pi \pi \sigma \pi \pi \delta \delta \phi \phi \sigma$ β electron $\sigma \sigma \pi \pi$	$^9\Sigma^-$	0.326	-72.06600

$^8\Sigma^-$ 、 $^{10}\Sigma^-$ 、 $^6\Sigma^+$ (2) \cdots , 电子组态为
 α 电子 $\sigma \sigma \sigma \pi \pi \sigma \pi \pi \sigma \delta \delta \pi \pi \sigma$
 β 电子 $\sigma \sigma \sigma \pi \pi \sigma \pi \pi \sigma$
基态电子状态为 $X^6\Sigma^-$, 离解极限为
 $\text{PuO}(X^6\Sigma^-) \rightarrow \text{Pu}^+(^8F_g) + \text{O}(^3P_g)$
PuN⁺分子离子的可能电子状态有 $^5\Sigma^+$ 、 $^7\Sigma^+$ 、
 $^9\Sigma^+$ 、 $^{11}\Sigma^+$ 、 $^5\Pi$ 、 $^7\Pi$ 、 $^9\Pi$ \cdots , 电子组态为
 α 电子 $\sigma \sigma \sigma \pi \pi \sigma \delta \delta \pi \pi \sigma \phi \phi$
 β 电子 $\sigma \sigma \sigma \pi \pi \sigma \pi \pi \sigma$
基态电子状态为 $X^5\Sigma^+$, 离解极限为
 $\text{PuN}^+(X^5\Sigma^+) \rightarrow \text{Pu}^+(^8F_g) + \text{N}(^4S_u)$.
PuC⁺分子离子的可能电子状态有 $^6\Sigma^-$ 、 $^8\Sigma^-$ 、
 $^{10}\Sigma^-$ 、 $^6\Sigma^+$ \cdots , 电子组态为
 α 电子 $\sigma \sigma \sigma \pi \pi \sigma \pi \pi \delta \delta \sigma \sigma \pi \pi$
 β 电子 $\sigma \sigma \sigma \pi \pi \sigma \pi$
基态电子状态为 $X^8\Sigma^-$, 离解极限为
 $\text{PuC}^+(X^8\Sigma^-) \rightarrow \text{Pu}^+(^8F_g) + \text{C}(^3P_g)$

2 PuX⁺(X = H,O,N,C)分子离子的结构与势能函数

图 1~图 4 分别为 PuH⁺、PuO⁺、PuN⁺和 PuC⁺

分子离子的势能曲线, 其中实线为拟合函数曲线, 拟合函数为 Murrell-Sorbie(MS)势能函数:

$$V = -D_e(1 + a_1\rho + a_2\rho^2 + a_3\rho^3)\exp(-a_1\rho)$$

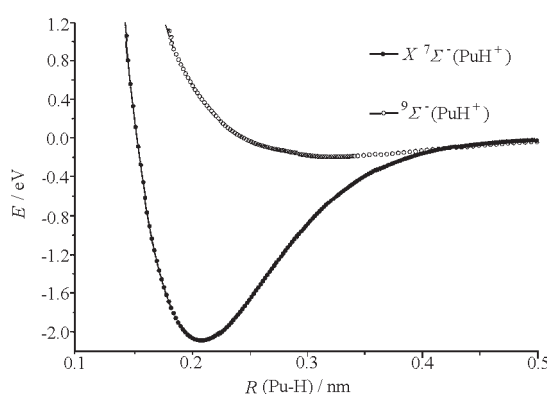
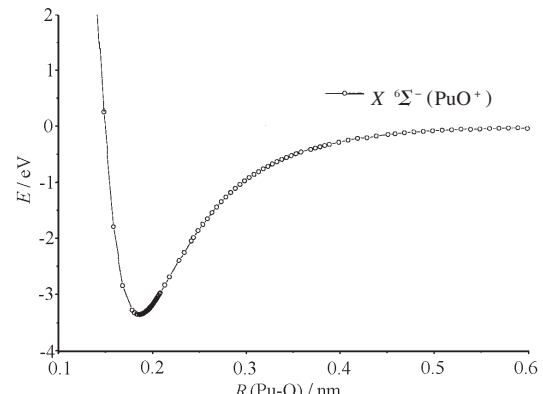
式中 $\rho = R - R_e$, R 为核间距, R_e 为平衡值.

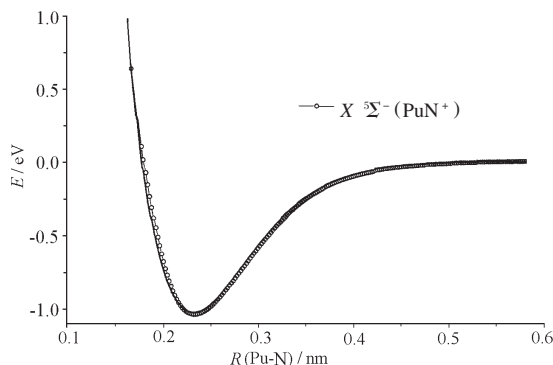
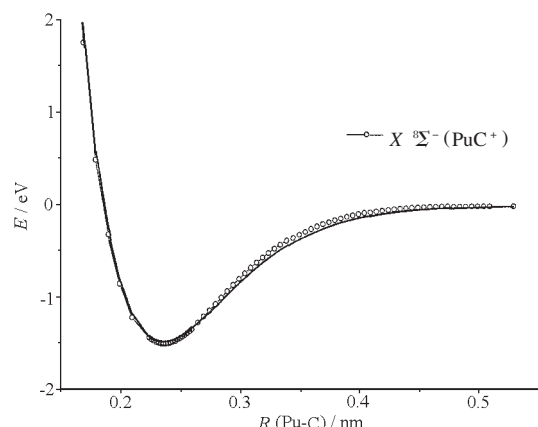
图 1~图 4 中的势能曲线均具有对应分子稳定平衡结构的极小点, 说明 PuO⁺($X^6\Sigma^-$)、PuH⁺($X^7\Sigma^-$)、PuN⁺($X^5\Sigma^+$) 和 PuC⁺($X^8\Sigma^-$)分子离子是稳定存在的.

用正规方程组拟合 MS 势能函数得到的各参数值见表 2. 由从头计算得到的各电子状态的几何性质和由 MS 参数计算得到的力学性质与光谱数据见表 3.

3 结论

在 Pu 原子相对论有效原子实势近似下, H、O、N 和 C 原子用 6-311G* 全电子基函数, 用密度泛函 B3LYP 方法优化计算得到 PuH⁺、PuO⁺、PuN⁺和 PuC⁺的基态电子状态分别为 $X^7\Sigma^-$ 、 $X^6\Sigma^-$ 、 $X^5\Sigma^+$ 和 $X^8\Sigma^-$. 由图 1~图 4 可看出, 计算值与拟合函数吻合甚好. 所以, 这些分子离子的基态势能函数可用 Murrell-Sorbie 势函数来描述.

图 1 PuH⁺分子离子的势能曲线Fig. 1 Potential energy curves of PuH⁺图 2 PuO⁺分子离子的势能曲线Fig. 2 Potential energy curves of PuO⁺

图 3 PuN^+ 分子离子的势能曲线Fig. 3 Potential energy curves of PuN^+ 图 4 PuC^+ 分子离子的势能曲线Fig. 4 Potential energy curves of PuC^+ 表 2 PuX^+ ($X = \text{O}, \text{H}, \text{C}, \text{N}$) 的 MS 参数Table 2 Parameters of the potential function for RuX^+ ($X = \text{O}, \text{H}, \text{C}, \text{N}$)

Electronic state	R_e/nm	D_e/eV	a_1/nm^{-1}	a_2/nm^{-2}	a_3/nm^{-3}
$\text{PuO}^+ (X^6\Sigma^-)$	0.1875	3.359	23.091	-82.60	943.2
$\text{PuH}^+ (X^7\Sigma^-)$	0.2080	2.095	29.615	255.56	870.0
$\text{PuN}^+ (X^5\Sigma^+)$	0.2343	1.029	33.525	360.57	1540.9
$\text{PuC}^+ (X^8\Sigma^-)$	0.2367	1.491	32.303	291.79	1021.1

R_e : equilibrium nuclear distance; D_e : dissociation energy; a_1, a_2, a_3 : parameters in Murrell-Sorbie potential energy function.

表 3 PuX^+ ($X = \text{O}, \text{H}, \text{C}, \text{N}$) 的力学性质与光谱数据

Table 3 Derived force constants and spectroscopic data

Electronic state	$f_2/\text{fJ} \cdot \text{nm}^{-2}$	$f_3/\text{fJ} \cdot \text{nm}^{-3}$	$f_4/\text{fJ} \cdot \text{nm}^{-4}$	ω_e/cm^{-1}	$\omega_{ex_e}/\text{cm}^{-1}$	B_e/cm^{-1}	α_e/cm^{-1}
$\text{PuO}^+ (X^6\Sigma^-)$	0.376	-22.456	1024.714	652.31	4.530	0.3198	0.00253
$\text{PuH}^+ (X^7\Sigma^-)$	0.123	-3.947	79.330	1441.25	22.562	3.8822	0.07703
$\text{PuN}^+ (X^5\Sigma^+)$	0.066	-1.991	27.434	291.87	1.728	0.2327	0.00149
$\text{PuC}^+ (X^8\Sigma^-)$	0.110	-4.058	96.606	403.77	2.569	0.2630	0.00197

f_2, f_3, f_4 : second, third, fourth order force constant; ω_e : harmonic frequency; ω_{ex_e} : non-harmonic frequency; B_e : constant of rigid rotation; α_e : constant of non-grigid rotation.

References

- Gao T, Wang HY, Zhu ZH, et al. *Acta phys.*, **1999**, *48*(12): 2222 [高涛, 王红艳, 朱正和等. 物理学报 (Wuli Xuebao), **1999**, *48*(12):2222]
- Gao T, Wang HY, Zhu ZH, et al. *Chinese J. of Atomic and Molecular Physics*, **2000**, *17*(1): 46 [高涛, 王红艳, 朱正和等. 原子分子物理学报 (Yuanzi Fenzi Wuli Xuebao), **2000**, *17*(1):46]
- Li Q, Liu XY, Zhu ZH, et al. *J. of Shandong Normal University (Natural Science)*, **2000**, *15*(3): 26 [李权, 刘晓亚, 朱正和等, 山东师范大学学报. 自然科学版 (Shandong Shifan Daxue Xuebao · Zhrankexueban), **2000**, *15*(3):26]
- Li Q, Liu XY, Zhu ZH, et al. *Acta Phys. -Chim. Sin.*, **2000**, *16*(11): 987 [李权, 刘晓亚, 朱正和等, 物理化学学报 (Wuli Huaxue Xuebao), **2000**, *16*(11):987]
- Wang S G, Schwarz W H E. *J. Phys. Chem.*, **1995**, *99*: 11687
- Wang S G, Pan D K, Schwarz W H E. *J. Chem. Phys.*, **1995**, *102*: 9296
- Hay P J, Martin R L. *J. Chem. Phys.*, **1998**, *109*(10): 3875
- Zhu ZH, Yu HG. *Molecular Structure and Molecular Potential Energy Function*, Beijing: Science Press, 1997 [朱正和, 俞华根. 分子结构与分子势能函数, 北京: 科学出版社, 1997]
- Zhu ZH. *Atomic and Molecular Reaction Statics*, Beijing: Sicience Press, 1996 [朱正和. 原子分子反应静力学. 北京: 科学出版社, 1996]

Structure and Potential Energy Function of PuX⁺ (X = O, H, N, C)^{*}

Li Quan Wang Hong-Yan¹ Jiang Gang¹ Zhu Zheng-He¹

(Department of Chemistry, Sichuan Normal University, Chengdu 610066; ¹Institute of Atomic and Molecular Physics, Sichuan University, Chengdu 610065)

Abstract The theoretical study on PuX⁺ (X = O, H, N, C) using density functional method(B3LYP) shows that PuO⁺、PuH⁺、PuN⁺ and PuC⁺ can be stable. Ground electronic states are X⁶Σ⁻ (PuO⁺)、X⁷Σ⁻ (PuH⁺)、X⁵Σ⁺ (PuN⁺) and X⁸Σ⁻ (PuC⁺) respectively, and their potential energy functions are in well agreement with the Murrell-Sorbie function, their force constants and spectroscopic data have been obtained.

Keywords: Molecular ions, Structure, Potential energy function, Stability, Density functional theory(DFT)